# 鉄道車両の転覆限界風速計算式の近似手法に関する一検討

## ○ [土] 南雲 洋介 (東日本旅客鉄道)

# A study on a simplified formula for calculating critical wind speeds of overturning of railway vehicles

# OYosuke Nagumo, (East Japan Railway Company)

In this study, a simplified formula for calculating critical wind speeds of overturning is proposed to assess crosswind resistant performance of railway vehicles with allowable accuracy. Firstly, approximated forces acting on the railway vehicles and approximation ratios multiplied by them are formulated to reduce the number of the vehicle specifications needed for the calculation. Secondly, values of the approximation factors are estimated based on actual vehicle specifications. Finally, accuracy of the proposed formula is assessed by comparing the critical wind speeds of overturning calculated from the proposed formula with those calculated from the original one.

キーワード: 横風, 強風, 耐力, 準静的解析, 総研詳細式

Key Words: Crosswinds, strong winds, resistant force, quasi-static analysis, RTRI detailed equation

## 1. はじめに

強風時における列車運行の安全性を確保するためには、 車両の転覆に対する耐力が車両に作用する外力を上回る状 態を維持する必要がある. 耐力は、風上側の輪重がゼロと 計算されるときの自然風の風速である転覆限界風速として 評価される. 転覆限界風速の計算式として, 日本では国枝 1)により提案された静的解析式(以下,国枝式とする)や日 比野・石田 2)により提案された準静的解析式(以下,総研 詳細式とする)が広く使われている. 総研詳細式では、各 種作用力の計算における近似や仮定を最小限にしているた め、国枝式と比較してより精緻に転覆限界風速を計算する ことが可能である. その精度については、日比野ら 3が実 施した実物車両を用いた横力負荷試験により示されてい る. 一方, 総研詳細式による計算では, 詳細な車両諸元が 必要である. 実用性の観点からは、転覆限界風速を許容精 度で極力簡便に計算できることが理想的である.

本研究では、総研詳細式を基礎として、転覆限界風速の 計算に必要な車両諸元を削減するための近似手法を提案す る. まず, 車両諸元を削減した近似作用力を定式化し, そ の影響を補正するために近似作用力に乗じる近似係数を定 式化する. 次に、実際の車両諸元に基づき、各近似係数の 値を推定する. 最後に, 推定した近似係数を用いて転覆限 界風速の試算を行い,近似式の精度を評価する.

## 2. 近似手法の構築

## 2.1 総研詳細式の概要

総研詳細式は、半車両の2次元断面モデルである(図1). 車両への作用力として,耐力である重力と外力である空気 力,超過遠心力,左右振動慣性力の計4種の力が考慮され る. これらを風下側の車輪/レール接触点まわりのローリ ングモーメントとして扱うと、風上側の輪重がゼロとなる ときのつり合いは式(1)で表される.

$$M_{\rm G}=M_{\rm W}(U)+M_{\rm C}+M_{\rm A}$$
 (1)  
ここで、 $M_{\rm G}$ は重力モーメント、 $M_{\rm W}$ は空気力モーメント、 $M_{\rm C}$ は超過遠心力モーメント、 $M_{\rm A}$ は左右振動慣性力モーメントである。各作用力は、それぞれ式(2)~(5)で求められる.

$$M_{\rm G} = m_{\rm B}g(G/2 - y_{\rm B}) + m_{\rm T}g \cdot G/2$$
 (2)

$$M_{\rm W} = \frac{1}{2} \rho U_{\rm r}^2(U, V) A_{\rm S} \{ C_{\rm S}(\psi_{\rm r}) \cdot h_{\rm BC}$$
 (3)

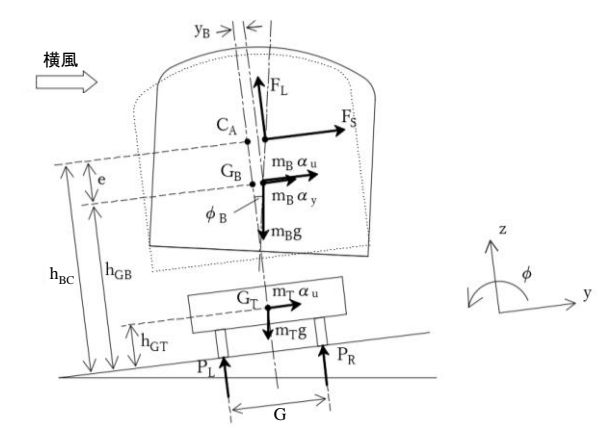
$$M_{W} = \frac{1}{2}\rho U_{r}^{2}(U, V)A_{S}\{C_{S}(\psi_{r}) \cdot h_{BC} + C_{L}(\psi_{r})(G/2 - y_{B} + e\phi_{B})\}$$

$$M_{C} = \left| (m_{B} \cdot h_{GB} + m_{T} \cdot h_{GT}) \left( \frac{V^{2}}{r} - \frac{c}{G}g \right) \right|$$

$$(2)$$

$$M_{\rm A} = m_{\rm B} \cdot 0.1g \frac{V}{V_{\rm max}} \cdot h_{\rm GB} \tag{5}$$

ここで、 $m_B$ は半車体質量、 $m_T$ は台車質量、gは重量加速度、 Gは左右の車輪/レール接触点間距離, yBは車体重心の左 右変位、 $\rho$ は空気密度、 $U_r$ は自然風Uと車両走行速度Vの相 対風速, $A_S$ は半車体側面積, $C_S$ は横力係数, $C_L$ は揚力係数,  $h_{\rm BC}$ はレール面からの風圧中心高さ、eは車体重心から風圧



総研詳細式の概要(日比野・石田2)に一部追記修正)

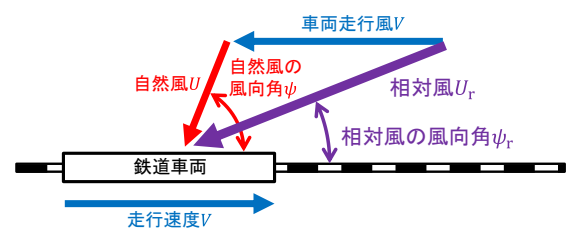


図2 鉄道車両にあたる相対風のイメージ

中心までの距離、 $\phi_B$ は車体重心まわりのロール変位、 $h_{GB}$ はレール面からの車体重心高さ、 $h_{GT}$ はレール面からの台 車重心高さ、rは軌道の曲線半径、cはカント、Vmaxは車両 最高速度である. 式(3)における相対風速 $U_r$ と相対風向角 $\psi_r$ は、それぞれ式(6)と式(7)で求める(図2).

$$U_r = \sqrt{(U\cos\psi + V)^2 + (U\sin\psi)^2}$$
 (6)

$$\psi_{\rm r} = \arctan \frac{U \sin \psi}{U \cos \psi + V} \tag{7}$$

超過遠心力は正負両方の値を取り得るが、軌道の内方側と 外方側の両方向の転覆を考慮したうえで安全側の値を取る ようにするために、式(4)のとおり絶対値で表現した. 式(1) を自然風の風速Uについて解くことで、転覆限界風速が得 られる. 風圧中心高さ $h_{BC}$ と変位 $y_B$ ,  $\phi_B$ の導出方法につい ては、参考文献2)を参照されたい.

## 2.2 近似作用力と近似係数の定式化

本研究で提案する近似手法の基本的な考え方は、取得し づらい車両諸元を省略または他の諸元で代替することで不 要とすることである. 総研詳細式による転覆限界風速の計 算において取得しづらい車両諸元として、変位 $y_{\rm B}$ 、 $\phi_{\rm B}$ の導 出に必要なばね系諸元と、台車諸元 $m_{\rm T}$ 、 $h_{\rm GT}$ が挙げられる. これらを省略または他の諸元で代替し、それにより生じる 誤差を近似係数で補正する. 近似作用力と近似係数を用い た近似式は式(8)のように表す.

$$\gamma_{\rm G} M_{\rm G}^* = \gamma_{\rm W} M_{\rm W}^*(U) + M_{\rm C} + \gamma_{\rm A} M_{\rm A}^*$$
 (8)  
ここで、 $M_i^*$ は各作用力 $M_i$  の近似値、 $\gamma_i$ は近似作用力 $M_i^*$ に乗じる近似係数である。添字 $i$ は各項の添字に対応する。近似係数は、式(1)と式(8)から式(9)のように定義される。

$$\gamma_i \equiv \frac{M_i}{M_i^*} \tag{9}$$

車体重心の左右変位 $y_B$ とロール変位 $\phi_B$ を省略し、さらに

表 1 転覆限界風速の計算に必要な車両諸元

	<b>払「 +41友 払が  本にむ女</b>	0 1 1 3 4 4	-
番号	項目	総研 詳細式	提案 近似式
7		市干が山工へ	近极式
1	半車体質量(半車両質量)	0	0
2	レール面からの車体(車両)重心高さ	0	0
3	台車質量	0	
4	レール面からの台車重心高さ	0	
5	車輪半径	0	
6	車体高さ(車体下端-車体上端)	0	0
7	半車体側面積	0	0
8	左右の車輪/レール接触点間距離	0	0
9	車両最高速度	0	0
10	レール面からの空気ばね中心高さ	0	
11	レール面からの左右動ストッパ中心 高さ	中心	
12	左右動ストッパ隙間	0	
13	上下動ストッパ隙間	0	
14	台車中心ー軸ばね中心間距離	0	
15	台車中心一空気ばね中心間距離		
16	台車中心―上下動ストッパ中心間距 離	0	
17	軸ばね上下ばね定数	0	
18	空気ばね上下ばね定数	0	
19	空気ばね左右ばね定数	0	
20	左右動ストッパゴムばね定数	0	
21	上下動ストッパゴムばね定数	0	
_	合計	21	6

半車体質量 $m_B$ と台車質量 $m_T$ を半車両質量 $m_C$ として、車体 重心 $h_{GB}$ と台車重心 $h_{GT}$ を車両重心 $h_{GC}$ として代替すると, 式(2)~(5)はそれぞれ式(10)~(13)のように近似される.

$$M_{\rm G}^* = (m_{\rm B} + m_{\rm T})g \cdot \frac{G}{2} = m_{\rm C}g \cdot \frac{G}{2}$$
 (10)

$$M_{\rm W}^* = \frac{1}{2} \rho U_{\rm r}^2(U, V) A_{\rm S} \left\{ C_{\rm S} \cdot h_{\rm BC} + C_{\rm L} \cdot \frac{G}{2} \right\}$$
 (11)

$$M_{\rm G}^* = (m_{\rm B} + m_{\rm T})g \cdot \frac{G}{2} = m_{\rm C}g \cdot \frac{G}{2}$$

$$M_{\rm W}^* = \frac{1}{2}\rho U_{\rm r}^2(U, V)A_{\rm S} \left\{ C_{\rm S} \cdot h_{\rm BC} + C_{\rm L} \cdot \frac{G}{2} \right\}$$

$$M_{\rm C} = \left| m_{\rm C} \cdot h_{\rm GC} \left( \frac{V^2}{r} - \frac{c}{G}g \right) \right|$$
(12)

$$M_{\rm A}^* = m_{\rm C} \cdot 0.1g \frac{V}{V_{\rm max}} \cdot h_{\rm GC} \tag{13}$$

近似係数y,は評価条件ごとに異なる値となるが、これら を固定値として設定することで、少ない車両諸元で簡便に 転覆限界風速を計算することが可能になる.表1には、転 覆限界風速の計算に必要な車両諸元の比較を示す. 総研詳 細式では 21 個のパラメータが必要なのに対し、提案近似 式ではそれが6個に削減される.

## 3. 近似係数の推定

## 3.1 評価条件

本章では、近似係数を固定値として設定するために、そ の適切な値を推定する. 本節では, 近似係数を推定するた めの評価条件を整理する. 車両形状と線路構造物の条件は, 種本ら4の風洞実験に基づき、それぞれ5車両形状(通勤 型,特急型,二階建,客車型,貨車型)と7線路構造物(築 堤, 単線橋梁: 桁高 1m, 2m, 3.5m, 複線高架橋: 桁高 1m, 3.5m,6m) を選定した. 各車両形状に対して代表的な1車 種を選定し、1車種につき先頭車および中間車の2ケース を対象とした. 軌道条件と運転条件は、表2に示す5ケー スとした. 以上の組み合わせにより, 評価条件は計 350 ケ

ースとした. 空気密度 $\rho$ は 1.23kg/m³, 自然風の風向角 $\psi$ は 90 度,自然風の風速Uは各評価条件において総研詳細式により計算された転覆限界風速とした. 転覆限界風速の計算において,横力係数 $C_S$ と揚力係数 $C_L$ は種本ら $^4$ の風洞実験結果を用い,相対風向角 $\psi_r$ に対応する値を線形補間して適用した.

#### 3.2 推定結果

図3には、前節の評価条件により求めた近似係数の平均 値 $\mu_{v,i}$ を示す。全車両形状をまとめて評価した結果と、車両 形状ごとに個別に評価した結果を並べて示す. 近似係数の 平均値は、いずれも 1 未満である。 $\gamma_G$ については、重力モ ーメント $M_G$ の腕の長さが車体重心の左右変位 $y_B$ により短 くなるところを、近似値 $M_G^*$ では変位の省略により過大評価 しているためである. $\gamma_{\mathbf{W}}$ については,空気力モーメント $M_{\mathbf{W}}$ における揚力の腕の長さが風圧中心の左右変位 $y_B - e\phi_B$ により短くなるところを、近似値M\*vでは変位の省略によ り過大評価しているためである. γ<sub>A</sub>については, 左右振動 慣性力モーメントMAが本来は半車体にのみ作用するのを, 近似値M\*では台車も含めた半車両に作用するものとして 過大評価しているためである. 車種ごとの傾向を見ると, 通勤型,特急型,二階建の3車両形状は,いずれの近似係 数でも同程度の値となっている. 対して, 客車型と貨車型 は傾向が異なり、特にYGにおいてその他3車両形状とは約 0.1 の差が生じている. これは、2 次ばねの左右剛性の違い が原因である.

図 4 には、近似係数の標準偏差 $\sigma_{\gamma,i}$ を示す、 $\gamma_{G}$ における全車両形状の標準偏差は、他の条件に比べて突出して大きい、これは、 $\gamma_{G}$ の全車両形状の平均値と客車型および貨車型の平均値の差が大きいためである、 $\gamma_{A}$ について、その値は半車体と台車の質量および重心にのみ依存する。客車型と貨車型の車両は、先頭車と中間車で同じ車両諸元を用いているため、これら 2 形状の標準偏差は 0 になっている。

以上の推定結果に基づき,近似式の使用目的に応じて近 似係数を固定値として設定することで,必要な車両諸元を 削減した転覆限界風速の計算が可能である.

## 4. 近似式の精度検証

## 4.1 近似係数の設定

本研究で提案する近似式の使用目的として, 2 つの用途が考えられる. 1 つめは, 総研詳細式の代替式として用いることである. この用途では, 近似式と総研詳細式の計算結果が平均的に一致することが望ましいと考え, 近似係数

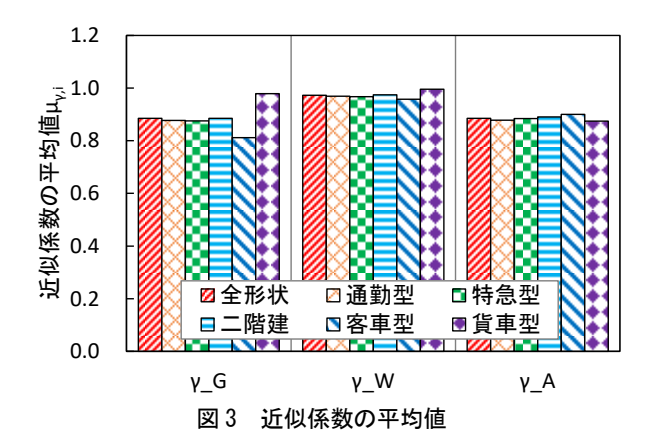
表 2 軌道条件および運転条件

番号	曲線半径 <i>r</i> [m]	カント c[m]	走行速度 V[m/s] ([km/h])
1	直線	0	$V_{ m max}$
2	1500	0.03	$V_{ m max}$
3	900	0.05	27.8 (100)
4	500	0.07	22.2 (80)
5	300	0.10	19.4 (70)

には推定結果の平均値を用いる。2 つめは、総研詳細式による評価の前段に予備評価として用いることである。この用途では、総研詳細式による本評価の必要性を判断することが目的となるため、総研詳細式よりも安全側の評価となるように近似式を調整することが望ましいと考えられる。これらの両方の用途に対応できるように、近似係数は式(14)のように設定する。

$$(\mu_{\gamma,G} - n\sigma_{\gamma,G})M_{G}^{*} = (\mu_{\gamma,W} + n\sigma_{\gamma,G})M_{W}^{*}(U) + M_{C} + (\mu_{\gamma,A} + n\sigma_{\gamma,A})M_{A}^{*}$$
 (14)

ここで、nは近似係数の標準偏差に乗じる係数である。本研究では、nの値を 0, 0.5, 1.0, 1.5 の 4 通りに設定した。 n=0は 1 つめの用途に対応し、 $n\neq0$ は 2 つめの用途に対応する。3.2 節における近似係数の推定結果より、客車型と貨車型は他の車両と比較して近似係数の傾向が異なることがわかった。そして、旅客輸送を考えると、大半は通勤型、特急型、二階建の 3 車種に集約される。そこで本研究では、近似係数を 5 車種と 3 車種(通勤型、特急型、二階建)の 2 通りで導出し、それぞれのケースについて精度評価を行う。表 3 には、精度評価に用いる近似係数をまとめた。対



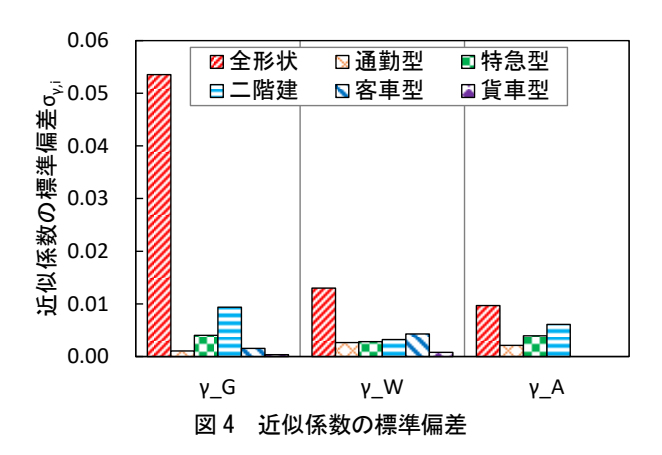
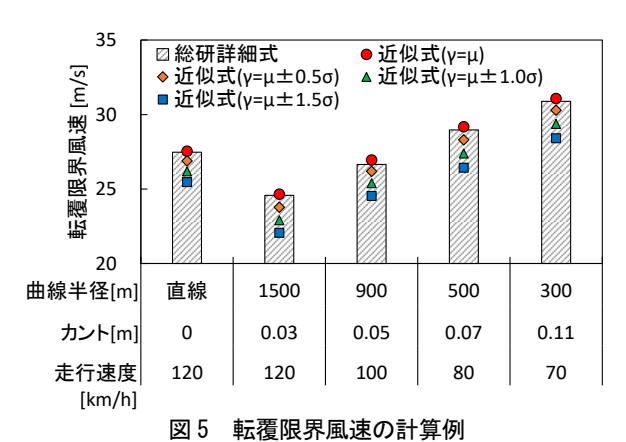


表3 評価に用いる近似係数

	我 6 計画に用いる近核床数								
		5 車両形状(all)		3 車両形状 (three)					
	項目i	全車種		通勤型,特急型,二階建					
		$\mu_{\gamma,i}^{\mathrm{all}}$	$\sigma^{ m all}_{\gamma,i}$	$\mu_{\gamma,i}^{ ext{three}}$	$\sigma_{\gamma,i}^{ m three}$				
	$\gamma_{ m G}$	0.885	0.054	0.879	0.007				
	$\gamma_{W}$	0.973	0.013	0.970	0.004				
	$\gamma_{A}$	0.885	0.010	0.884	0.007				



(通勤型先頭車,単線橋梁:桁高2m,5車両形状を対象)

象を3車種に限定することで,近似係数の標準偏差が大き く低減されていることがわかる.

#### 4.2 転覆限界風速の比較

近似式による転覆限界風速の推定精度は、総研詳細式による転覆限界風速との差 $\Delta U_{cri}$ として、式(15)で評価する.

$$\Delta U_{\rm cri} = U_{\rm cri}^{\rm APP} - U_{\rm cri}^{\rm HBN} \tag{15}$$

ここで、 $U_{\rm cri}^{\rm APP}$ は提案近似式による転覆限界風速, $U_{\rm cri}^{\rm HBN}$ は総研詳細式による転覆限界風速である。 $\Delta U_{\rm cri}$ が正のときには転覆限界風速を過大すなわち危険側に評価,負のときには過小すなわち安全側に評価することを表す。

図5には、転覆限界風速の計算例を示す.車両は通勤型 先頭車、線路構造物は単線橋梁: 桁高2m,近似係数は5車 両形状から導出したものを用いた.近似係数を平均値とし て設定した場合は、総研詳細式と近似式の転覆限界風速が 同程度の値になっている.近似係数が大きく(重力の近似 係数は小さく)なると、近似式の転覆限界風速は総研詳細 式に比べて小さくなり、安全側評価となる.これは計算結 果の一例であるため、3.1節の評価条件にあわせて転覆限 界風速を計算することで近似式の精度を評価する.

図6には、5車両形状から推定した近似係数を適用した ときの転覆限界風速の差を示す. 平均値, 最小値, 最大値 た.  $\gamma_i = \mu_{v,i}$ のとき、 $\Delta U_{cri}$ の平均値はほぼ 0 であるが、最 小値と最大値は平均値から 2m/s 程度の差が生じる. nが 大きくなるにしたがい、 $\Delta U_{cri}$ は小さくなっていき、n=1.5のときには最大値がほぼ0になる.このことから、5車両 形状を対象とする場合には、近似係数の平均値から標準偏 差の 1.5 倍程度の余裕を取ることで安全側の評価になると いえる. 図7には、3車両形状から推定した近似係数を適 用したときの転覆限界風速の差を示す. 5 車両形状の場合 と比べて、平均値からの最大値と最小値の差は大幅に低減 されており、対象車両を絞り込むことで高い精度で評価が 可能であることがわかる. n=1のときに最大値が 0 にな っていることから、3 車両形状を対象とする場合には、近 似係数の平均値から標準偏差の1倍程度の余裕を取ること で安全側の評価になるといえる. なお, これらは本研究で 定めた評価条件に対する結果であることに留意されたい.

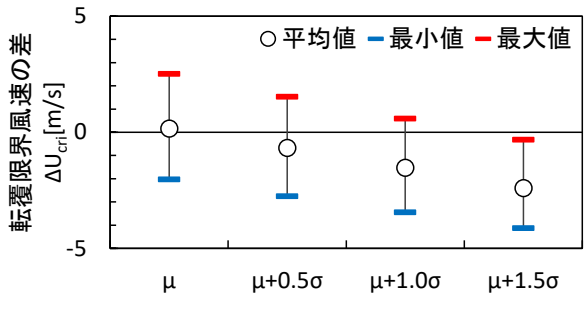


図6 転覆限界風速の差(対象:5車両形状)

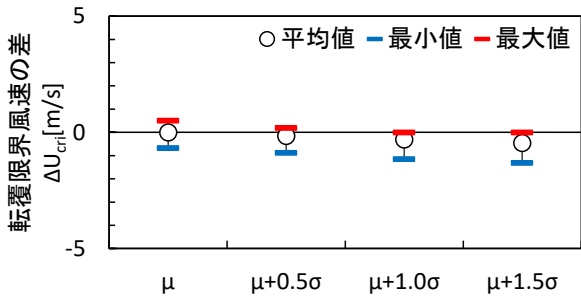


図7 転覆限界風速の差(対象:3車両形状)

#### 5. おわりに

本研究では、総研詳細式を基礎として、転覆限界風速の 計算に必要な車両諸元を削減した近似式を提案した. 得ら れた結果は、以下のとおりである.

- (1) 転覆限界風速の計算に必要な車両諸元を削減するため に、近似作用力とそれ乗じる近似係数を定式化した.こ れにより、ばね系諸元と台車諸元を不要とした.
- (2) 実際の車両諸元に基づきパラメータスタディを行い, 近似係数の値を推定した. 車種による近似係数の違いが 確認され,対象車両を絞り込むことで評価条件による近 似係数のばらつきを低減できることがわかった.
- (3) 推定した近似係数を用いて転覆限界風速の試算を行い、近似式の精度を検証した.近似式の用途や対象車両に応じた近似係数の傾向や転覆限界風速の推定精度の違いを明らかにした.

最後に,本研究で提案した近似手法の実用に際しては, その用途や必要とする精度に応じて,近似係数を別途定め ることが望ましい.

## 参考文献

- 1) 国枝正春: 鉄道車両の転ぶくに関する力学的理論解析, 鉄道技術研究報告, No.793, pp.1-15, 1972.
- 2) 日比野有, 石田弘明: 車両の転覆限界風速に関する静的 解析法, 鉄道総研報告, Vol.17, No.4, pp.39-44, 2003.
- 3) 日比野有,下村隆行,谷藤克也:鉄道車両の転覆限界風速に関する静的解析式の検証,日本機械学会論文集(C編), Vol.75, No.758, pp.2605-2612, 2009.
- 4) 種本勝二,鈴木実,斎藤寛之,井門敦志:在来線車両の 空気力係数に関する風洞試験結果,鉄道総研報告, Vol.27, No.1, 2013.